



BAB III

METODELOGI PENELITIAN

3.1 Pusat Listrik Keramasan PT.PLN (Persero) Sektor Pengendalian Pembangkitan Keramasan

PT.PLN (Persero) Sektor Pengendalian Pembangkitan Keramasan terletak di jalan abikusno cokrosuyoso No.24 di daerah Kertapati Palembang. Di dalam penulisan ini, penulis membahas masalah jarak pemasangan Lightning Arrester pada transformator daya 54 MVA.

Transformator daya pada Pusat Listrik Keramasan adalah transformator daya (*Step Up*) yang berkapasitas 54 MVA dari kapasitas 33 MVA dinaikkan menjadi 54 MVA dimana tegangan pada sisi primer 11 kV di naikkan pada sisi sekunder menjadi 150 kV. Sistem pendingin yang dipakai menggunakan ONAN (*Oil Natural Air Natural*)/ONAF (*Oil Natural Air Force*) dimana sistem pendingin ONAN/ONAF adalah sistem pendingin yang menggunakan minyak untuk pendingin internal dengan konveksi natural didalam tankinya dan menggunakan udara dengan konveksi natural untuk pendingin eksternal serta ditambahkan sebuah kipas pendingin eksternal. Sesuai Kontruksinya Transformator daya 54 MVA memiliki TID (Tingkat Isolasi Dasar) sebesar 650 kV

3.2 Transformator

Transformator daya 54 MVA yang terpasang pada Pusat Listrik Keramasan dapat di lihat pada gambar 3.1 di bawah ini :



Gambar 3.1 Transformator daya 54 MVA pada pusat listrik keramasan

Data-data Transformator Daya pada Gambar 3.2 adalah :

TRANSFORMATOR DAYA 54 MVA	
Merk	UNINDO
Tahun Pembuatan	2012
No Seri Pembuatan	P054LDD690-01
Kapasitas Trafo	54 MVA
Ratio Tegangan Primer	11 Kv
Ratio Tegangan Sekunder	150 kV
Ratio Arus Nominal Primer	127,0/207,8
Ratio Arus Nominal Sekunder	1154,7/1942,0
Frekuensi	50 Hz
Hubungan Kumparan	Star-Delta-Delta
Vector Diagram	Yndldl
Type	Outdoor
Type Pendingin	ONAN/ONAF
BILL (Basic Impuls Level)	650 kV



Gambar 3.2 Name plate transformator daya 54 MVA

Dengan demikian Transformator daya perlu mendapatkan proteksi dari tegangan lebih, Alat yang digunakan untuk mengamankan transformator daya 54 MVA dari tegangan lebih dari surja petir adalah penangkap petir (*Lightning Arrester*) jenis Metal Oksida (*Metal Oxide*).

3.3 Lightning Arrester

Lightning Arrester adalah suatu alat pelindung bagi peralatan system tenaga listrik terhadap surja petir. Alat pelindung terhadap gangguan surja ini berfungsi melindungi peralatan system tenaga listrik dengan cara membatasi surja tegangan lebih yang datang dan mengalirkannya ke tanah. *Lightning arrester* pada transformator daya 54 MVA memiliki sistem pentanahan langsung.

Lightning arrester yang terpasang pada transformator daya 54 MVA dapat dilihat pada gambar 3.3 di bawah ini.



Gambar 3.3 Lightning arrester pada transformator daya 54 MVA

Data-data Lightning Arrester adalah :

DATA LIGHTNING ARRESTER	
Kapasitas Transformator	54 MVA
Merk <i>Lightning Arrester</i>	ASEA
No Seri Pembuatan	N.5335670
Type <i>Arrester</i>	XAF 152B
Tahun Pembuatan	2012
Ratio Tegangan	152 kV
Arus Discharge	10 kA
Frekuensi	50-60 Hz
Jenis <i>Arrester</i>	Metal Oksida

Counter Lightning Arrester adalah merupakan peralatan yang sangat efektif untuk menunjukkan jumlah sambaran yang menghantam dan mengenai perangkat penyalur petir yang terpasang. Sejak terpasangnya *Lightning Arrester* hingga sekarang tercatat sambaran petir yang mengenai *Lightning Arrester* sebanyak 22 kali dan arus discharge yang mengenai *lightning arrester* di bawah 10 kA sehingga arrester masih dalam keadaan baik.

Counter Lightning Arrester dapat dilihat pada gambar 3.4 di bawah ini :



Gambar 3.4 *Counter lightning arrester* pada transformator daya 54 MVA

3.4 Pemasangan *Lightning Arrester*

Lightning arrester yang terpasang pada transformator daya 54 MVA di pasang dengan jarak 2 meter dari transformator daya. Arrester ditempatkan sedekat mungkin dengan peralatan yang dilindungi. Tetapi untuk memperoleh kawasan perlindungan yang lebih baik, maka ada kalanya *arrester* ditempatkan dengan jarak tertentu dengan peralatan yang dilindungi. Jarak *arrester* dengan peralatan yang dilindungi berpengaruh terhadap besarnya tegangan yang tiba di peralatan. Jika jarak *arrester* terlalu jauh, maka tegangan yang tiba pada peralatan dapat melebihi tegangan yang dapat dipikulnya. Peralatan masih dapat dilindungi dengan baik apabila jarak *arrester* dengan peralatan masih dalam batas yang diijinkan.



3.5 Lokasi Penempatan *Arrester*

Meskipun yang paling penting adalah penempatan *arrester* sedekat mungkin dengan alat-alat yang dilindungi, tetapi dalam praktek kadang-kadang hal ini tidak memungkinkan. Jika jarak itu terlalu jauh, tegangan abnormal yang sampai terminal dari peralatan akan lebih tinggi dari pada tegangan pelepasan *arrester*. Dalam menentukan jarak *arrester* dapat diperhitungkan pada persamaan 2.3



d.1 Instalasi Tegangan Tinggi, yaitu instalasi yang menyalurkan energi listrik yang dibangkitkan oleh generator.

d.2 Instalasi Tegangan Rendah, yaitu instalasi alat-alat bantu dan instalasi penerangan.

d.3 Instalasi Arus Searah, yaitu instalasi yang terdiri dari baterai aki beserta sistem pengisian dan jaringan arus searah yang terutama digunakan untuk proteksi, kontrol, dan telekomunikasi.^[1]

2.2.1 Jenis-jenis pusat listrik

a. Pusat Listrik Tenaga Air (PLTA)

Pusat listrik ini menggunakan tenaga air sebagai sumber energi primer.

b. Pusat Listrik Tenaga Diesel (PLTD)

Pusat listrik ini menggunakan bahan bakar minyak atau bahan bakar gas sebagai sumber energi primer.

c. Pusat Listrik Tenaga Uap (PLTU)

Pusat listrik ini menggunakan bahan bakar batu bara, minyak, atau gas sebagai sumber energi primer.

d. Pusat Listrik Tenaga Gas (PLTG)

e. Pusat listrik ini menggunakan bahan bakar gas sebagai sumber energi primer. Pusat Listrik Tenaga Gas dan Uap (PLTGU)

Pusat listrik ini merupakan kombinasi PLTG dengan PLTU. Gas buang dari PLTG dimanfaatkan untuk menghasilkan uap dalam ketel uap penghasil uap untuk menggerakkan turbin uap.

f. Pusat Listrik Tenaga Panas Bumi (PLTP)

Pusat listrik ini merupakan PLTU yang tidak mempunyai ketel uap karena uap penggerak turbin uapnya didapat dari dalam bumi.

g. Pusat Listrik Tenaga Nuklir (PLTN)

Pusat listrik ini merupakan PLTU yang menggunakan uranium sebagai bahan bakar yang menjadi energi primernya. Uranium menjalani proses *fission* (fisi) di dalam reaktor nuklir yang menghasilkan energi panas yang digunakan

¹ Djiteng Marsudi, pembangkitan energi listrik edisi kedua, Erlangga, 2011, hal 1-2



untuk menghasilkan uap dalam ketel uap. Uap ini selanjutnya digunakan untuk menggerakkan turbin uap penggerak generator.^[1]

2.3 Transformator

Dalam pusat listrik yang besar biasanya terdapat banyak transformator, macam-macam transformator ini adalah :

a. Transformator penaik tegangan generator

Karena teknologi membuat kumparan generator sinkron tiga fasa samapai saat ini paling tinggi baru mencapai 23 kV, apabila rel dalam pusat listrik menggunakan tegangan di atas tegangan generator, maka tegangan dari generator perlu di naikkan terlebih dahulu melalau transformator penaik tegangan sebelum dihubungkan ke rel tersebut. Transformator penaik tegangan generator umumnya dianggap merupakan satu kesatuan dengan generator terutama dari segi proteksi.

b. Transformator unit pembangkit

Setiap unit pembangkit yang besar umumnya mempunyai transformator unit pembangkit, yaitu transformator yang mengambil daya langsung dari generator untuk memasok alat-alat bantu unit pembangkit yang bersangkutan, seperti : motor pompa pendingin, motor pompa minyak pelumas, dan lain-lain.

c. Transformator pemakaian sendiri

Transformator pemakaian sendiri mendapat pasokan daya dari rel pusat listrik kemudian memasok daya ke rel pemakaian sendiri. Rel pemakaian sendiri digunakan untuk memasok instalasi penerangan, baterai aki, mesin-mesin bengkel, mesin perangkat, dan alat-alat bantu unit pembangkit pada periode start

d. Transformator antar rel

Jika di dalam pusat listrik ada beberapa rel dengan tegangan operasi yang berbeda-beda, maka ada transformator antar rel. Adanya rel-rel dengan tegangan yang berbeda dapat disebabkan karena perkembangan sistem tenaga listrik dan juga dapat terjadi karena diperlukan rel tegangan menengah (antara 6kV sampai 40kV) untuk keperluan distribusi di daerah sekitar pusat listrik selain rel tegangan

¹ Djiteng Marsudi, pembangkitan energi listrik edisi kedua, Erlangga, 2011, hal 1-2



tinggi (di atas 60 kV) untuk saluran transmisi jarak jauh. ^[2]

2.3.1 Pagar surja petir terhadap transformator

Dalam suatu sistem tenaga listrik banyak terdapat peralatan listrik yang harus dilindungi dari pengaruh surja Petir akan tetapi disini ditekankan pada suatu peralatan utama yang paling penting dan harus dilindungi dari sambaran surja Petir yaitu transformator. Karena selain peralatan pokok dalam penyaluran tenaga listrik juga merupakan peralatan listrik yang paling mahal, bila transformator rusak akan membutuhkan waktu yang lama dalam perbaikannya.

Tegangan lebih yang terjadi pada transformator tergantung dari bentuk gelombang elektromagnetiknya. Gelombang ini dapat disebabkan oleh surja Petir yang sampai ke peralatan transformator, tegangan lebih tersebut bisa terjadi di dalam transformator, apabila tegangan antara kumparan-kumparan tersebut menjadi beberapa kali dari tegangan normalnya. Dari pengalaman telah membuktikan bahwa lilitan yang paling dekat dengan terminal transformator adalah yang sering rusak karena tegangan lebih (sambaran surja Petir).

Tembusnya isolasi dapat terjadi pada beberapa titik dari kumparan, tergantung dari karakteristik isolasinya, misalnya tidak homogenya isolasi pada titik tersebut, dengan tembusnya isolasi dapat dianggap bahwa transformator tersebut telah rusak dan akan mengganggu pelayanan penyaluran energi listrik terhadap masyarakat (konsumen).

Jika sebuah gelombang berjalan yang ditimbulkan oleh sambaran Petir menuju ke transformator maka Transformator akan lebih bersifat sebagai rangkaian kapasitif dari pada rangkaian induktif. Surja Petir mempunyai muka gelombang yang sangat curam, sehingga dalam waktu yang sangat pendek tidak mungkin arus mengalir pada induktansi yang berharga besar dari gulungan Transformator. Tetapi terdapat kapasitansi antara gulungan Transformator ke inti besi dari Transformator, hal ini menyebabkan Transformator berreaksi sebagai beban kapasitif terhadap gelombang berjalan yang disebabkan tegangan lebih Petir.

² Djiteng Marsudi, pembangkitan energi listrik edisi kedua, Erlangga, 2011, hal 32



Setiap lilitan dari kumparan transformator mempunyai self inductance (induktansi sendiri), karena adanya fluksi ketika dialiri arus. Lilitan yang satu berdekatan dengan yang lain sehingga akan ada mutual inductansi (induktansi gandeng), karena adanya *eddy current* (arus eddy) di dalam Transformator maka induktansi yang lain antara inti dan inti juga diperhitungkan. Disamping itu setiap lilitan dari kumparan transformator mempunyai kapasitansi terhadap tangki dan kapasitansi antara lilitan satu dengan yang lain. Kapasitansi gandeng antara sederetan kumparan adalah yang paling tinggi dalam transformator.

Karena adanya kerugian dalam tahanan isolasi serta kerugian pada inti, surja yang datang pada kumparan akan terendam. Untuk mendapatkan gambaran permasalahan tersebut dibuat pendekatan sebagai berikut :

- a. Semua Kerugian karena tahanan kumparan, tahanan isolasi dan kerugian inti diabaikan
- b. Kapasitansi antara kumparan (kapasitansi seri) dan kapasitansi antara lilitan dengan tangki (kapasitansi paralel) adalah penting untuk menentukan keadaan awal dan keadaan akhir dari distribusi tegangan^[3]

2.4 Surja Petir

Suatu Petir bisa terjadi apabila ada awan yang bermuatan berada diatas bumi dalam jarak tertentu. Pada awan tersebut, muatan positif mengumpul pada bagian atas dan yang negatif berada disebelah bawah.

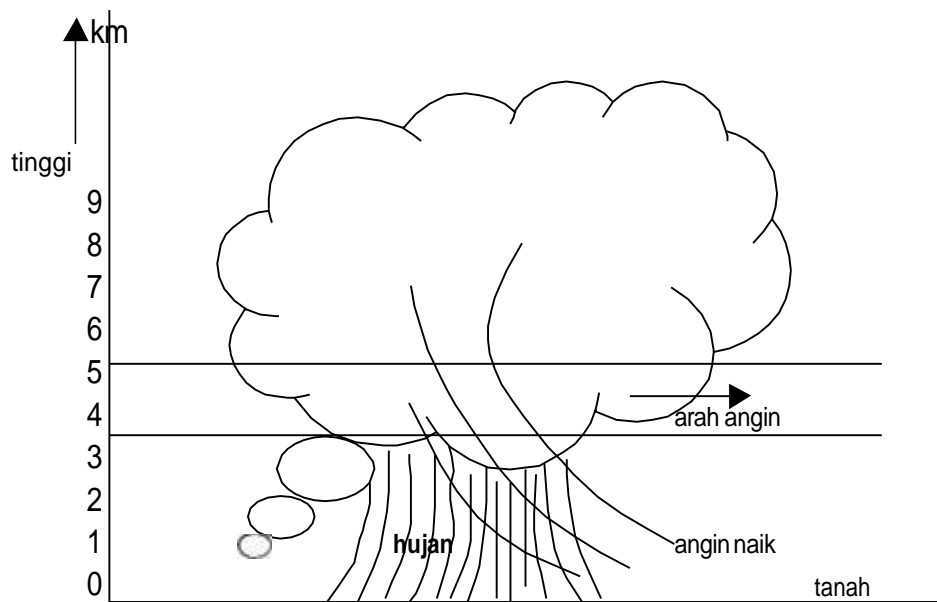
Karena bumi dikatakan sebagai benda yang mempunyai muatan positif pada permukaannya. Oleh karena itu muatan negatif yang berada dibagian bawah awan akan tertarik oleh muatan positif yang ada di bumi, proses pengaliran muatan negatif dari awan menuju kebumi inilah yang dinamakan Petir.

Muatan cenderung berkumpul pada tempat-tempat yang runcing, sehingga Petir cenderung pula menuju pada tempat-tempat tersebut. Mengingat besar/banyaknya elektron yang mengalir, maka disini akan mengalir pula arus listrik yang sangat besar sekali, nilainya dapat mencapai ratusan kilo Ampere. Awan bermuatan

³ Ir. Reynoaldo. Zoro, Perlindungan Terhadap Tegangan Lebih Petir dan Koordinasi Isolasi pada Sistem Tenaga Listrik. ITB, 1987.

dapat terbentuk jika pada suatu daerah terdapat udara yang lembab dan gerakan angin keatas. Kelembapan ditimbulkan karena adanya pengaruh sinar matahari yang menyebabkan terjadinya penguapan air diatas permukaan tanah, uap air udara panas ini akan naik keatas karena adanya updraft (gerakan keatas) dari udara yang membentuk lapisan-lapisan awan.

Untuk gambar proses terjadinya Petir dapat dilihat pada gambar.2.1. dibawah ini:



Gambar 2.1. Proses terjadinya petir ^[3]

Pergerakan udara keatas terus menerus ini akan menyebabkan terjadinya pembentukan awan bermuatan dengan diameter beberapa kilometer dengan ketinggian hingga mencapai sekitar 10 km dan bagian awan terendah umumnya terletak antara 1 sampai 2 km diatas tanah sambaran Petir juga dibagi atas dua bagian : ^[3]

2.4.1 Cara masuknya petir keperalatan

Mengingat bahaya yang terjadi maka kita perlu mempelajari bagaimana petir tersebut masuk keperalatan sistem tenaga listrik. Dengan demikian kita dapat menentukan peralatan pengamannya, peralatan pengaman ini diperlukan mengingat tegangan yang timbul oleh Petir dapat melebihi kekuatan isolasi peralatan yang

³ Ir. Reynaldo. Zoro, Perlindungan Terhadap Tegangan Lebih Petir dan Koordinasi Isolasi pada Sistem Tenaga Listrik. ITB, 1987.



akan menyebabkan terjadinya *flash over* (lompatan bunga api) atau isolasi mengalami kerusakan.^[3]

2.4.1.1 Sambaran Langsung

Sambaran langsung adalah sambaran yang langsung menyambar gedung atau objek yang diproteksi, misalnya : sambaran pada hantaran udara tegangan rendah, atau sambaran pada pipa metal, kabel dll. Pada jenis sambaran ini instalasi proteksi tegangan lebih akan dialiri oleh seluruh atau sebagian arus Petir.^[3]

2.4.1.2 Sambaran Jauh

Sambaran jauh adalah sambaran yang misalnya menyambar hantaran udara atau induksi dari pelepasan muatan Petir awan pada hantaran udara atau sambaran dekat dengan hantaran udara sehingga timbul gelombang berjalan (*electromagnetic wave*) yang menuju keperalatan listrik.^[3]

2.4.1.3 Sambaran tidak langsung atau induksi

Bila terjadi sambaran Petir ke tanah didekat saluran maka akan terjadi gejala transien pada kawat saluran. Gelombang tegangan Petir ini akan merambat sampai ke gardu induk. Pada tempat yang terkena sambaran Petir gelombangnya berekor dan bermuka curam. Selama gelombang ini berjalan melalui saluran transmisi bentuknya berubah, mukanya terjadi kurang curam dan ekornya bertambah panjang, sedangkan amplitudonya berkurang karena efek kulit dari saluran.^[3]

2.5 Perlindungan Pusat Listrik Terhadap Petir

Pusat listrik umumnya dihubungkan dengan saluran udara transmisi yang menyalurkan tenaga listrik ke pusat-pusat konsumsi tenaga listrik, yaitu gardu-gardu induk (GI).

Saluran udara rawan terhadap sambaran petir yang menghasilkan gelombang berjalan (surja tegangan) yang dapat masuk ke pusat listrik. Oleh karena itu, dalam pusat listrik harus ada *lightning arrester* (penangkal petir) yang

³ Ir. Reynaldo. Zoro, Perlindungan Terhadap Tegangan Lebih Petir dan Koordinasi Isolasi pada Sistem Tenaga Listrik. ITB, 1987.



berfungsi menangkal gelombang berjalan dari petir yang akan masuk ke instalasi pusat listrik.

Gelombang berjalan juga dapat berasal dari pembukaan dan penutupan pemutus tenaga (*switching*). Pada sistem dengan tegangan ekstra tinggi / TET (di atas 350 kV), surja tegangan karen *switching* lebih besar dari pada surja petir.

Saluran udara yang keluar dari pusat listrik merupakan bagian instalasi pusat listrik yang paling rawan sambaran petir dan karenanya harus diberi lightning arrester. Selain itu, lightning arrester harus berada di depan setiap transformator dan harus terletak sedekat mungkin dengan transformator. Hal ini perlu karena surja petir yang merupakan gelombang berjalan menuju transformator akan melihat transformator sebagai suatu ujung terbuka (karena transformator mempunyai isolasi terhadap bumi / tanah) sehingga gelombang pantulannya akan saling memperkuat dengan gelombang yang datang. Untuk mencegah terjadinya hal ini, lightning arrester harus dipasang sedekat mungkin dengan transformator.

Lightning arrester akan bekerja pada tegangan tertentu di atas tegangan operasi untuk membuang muatan listrik dari surja petir dan akan berhenti beroperasi pada tegangan tertentu di atas tegangan operasi agar tidak terjadi arus ikutan pada tegangan operasi. Perbandingan dua tegangan ini disebut rasio operasi arrester.

Tingkat isolasi dasar arrester harus berada di bawah tingkat isolasi transformator agar apabila sampai terjadi *flashover*, maka flashover diharapkan terjadi pada arrester dan tidak pada transformator.

Transformator adalah bagian pusat listrik yang paling mahal dan rawan terhadap sambaran petir. Selain itu, apabila terjadi kerusakan transformator, maka daya dari pusat listrik tidak dapat sepenuhnya disalurkan.

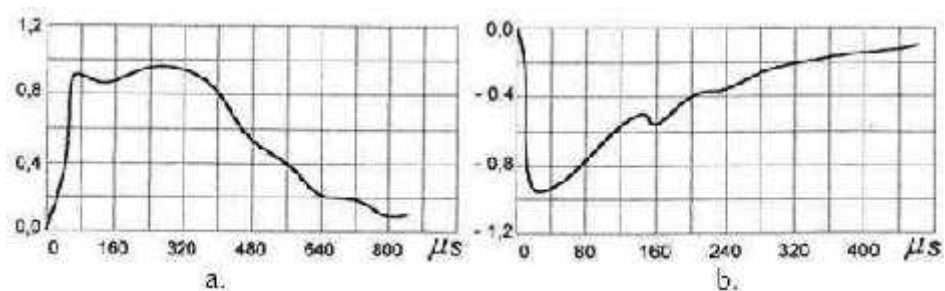
Salah satu perkembangan dari lightning arrester adalah penggunaan oksida seng ZnO_2 sebagai bahan yang menjadi “katup” atau *valve arrester*. Dalam menentukan rating arus *arrester*, sebaiknya dipelajari statistik petir setempat, misalnya apabila statistik menunjukkan distribusi probabilitas petir yang

³ Ir. Reynoaldo. Zoro, Perlindungan Terhadap Tegangan Lebih Petir dan Koordinasi Isolasi pada Sistem Tenaga Listrik. ITB, 1987.

terbesar adalah petir 15 kiloampere, maka rating arrester diambil 15 kiloampere.^[4]

2.6 Bentuk Gelombang Arus Petir

Bentuk gelombang arus petir ini menggambarkan besar arus, kecuraman (kenaikan arus), serta lamanya kejadian (durasi gelombang), dinyatakan oleh waktu ekor. Pada kenyataannya, bentuk gelombang arus petir tidak sama persis antara satu dengan yang lainnya. Bukan saja antara satu kejadian dengan kejadian lainnya, akan tetapi pada satu kejadian kilat dengan sambaran ganda, bentuk gelombang arus petirnya bisa berbeda cukup lumayan, antara sambaran pertama dengan sambaran susulan. Kejadian terutama pada petir negatif yang sebagian besar selalu ada subsequent stroke-nya.



Gambar 2.2 Osilogram bentuk gelombang arus petir^[5]

(a) Petir positif

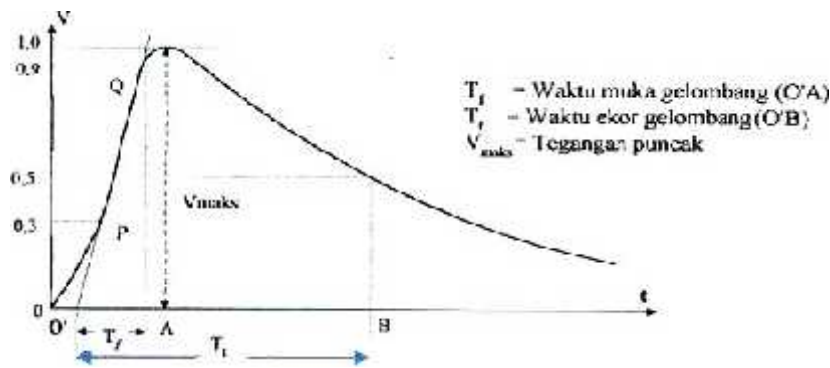
(b) Petir negatif

Karena ada perbedaan tersebut, maka bentuk standar gelombang arus petir berbeda beda untuk suatu negara atau lembaga, misalnya standar Jepang (JIS), atau Jerman (VDE), Inggris (BS) dan sebagainya. Untuk internasional biasanya mengacu pada IEC.

Bentuk gelombang arus petir dinyatakan dalam dua besaran yakni, waktu muka (T_f) yang menyatakan lamanya muka gelombang (*front duration*) dan kecuraman arus, serta waktu ekor (T_t).^[5]

⁴ Djiteng Marsudi, pembangkitan energi listrik edisi kedua, Erlangga, 2011, hal 52

⁵ Soli Akbar Hutagaol, *Studi Tentang Sistem Penangkal Petir pada BTS*, Medan, 2009.



Gambar 2.3 Bentuk gelombang impuls petir standar^[5]

Definisi muka gelombang (*wave front*) dan ekor gelombang (*wave tail*) ditetapkan dalam standar-standar yang telah ada. Menurut standar Jepang (1994) titik nol nominal dari sebuah tegangan impuls adalah perpotongan antara sumbu waktu dengan garis lurus yang menghubungkan dengan titik-titik 10% dan 90% dari tegangan puncak.

Menurut rekomendasi International Electrotechnical Commission (IEC), angkanya berturut-turut adalah 30% dan 90%. Muka gelombang didefinisikan sebagai bagian dari gelombang yang dimulai dari titik nol sampai titik puncak, sedang sisanya disebut ekor gelombang. Setengah puncak gelombang adalah titik-titik pada muka dan ekor dimana tegangannya adalah setengah puncak (titik 0.5). Menurut standar Jepang lamanya muka gelombang didefinisikan sebagai hasil bagi antara lamanya tegangan naik dari 10% sampai 90% dari puncak dan 0.8.

Waktu sampai setengah puncak dari ekor gelombang didefinisikan sebagai waktu dari titik nol nominal sampai setengah puncak pada ekor. Kecuraman muka gelombang adalah kecepatan naiknya tegangan pada muka gelombang.

⁵ Soli Akbar Hutagaol, *Studi Tentang Sistem Penangkal Petir pada BTS*, Medan, 2009.



Kecuraman muka rata-rata dinyatakan sebagai perbandingan antara tegangan puncak dan lamanya muka gelombang.^[5]

2.7 Kecuraman Gelombang (*Steepness*)

Kecuraman gelombang merupakan salah satu parameter paling penting. Parameter ini menyatakan kecepatan kenaikan arus petir dalam setiap satuan waktu (di/dt). Semakin besar nilai arus dalam setiap satuan waktu, berarti semakin curam bentuk gelombang arusnya dan makin pendek durasi muka gelombang (*front duration*).^[5]

2.8 *Lightning Arrester*

Lightning Arrester adalah suatu alat pelindung bagi peralatan system tenaga listrik terhadap surya petir. Alat pelindung terhadap gangguan surya ini berfungsi melindungi peralatan system tenaga listrik dengan cara membatasi surja tegangan lebih yang datang dan mengalirkannya ke tanah.

Berhubung dengan fungsinya itu ia harus dapat menahan tegangan system 50 Hz untuk waktu yang terbatas dan harus dapat melewatkan surja arus ke tanah tanpa mengalami kerusakan. Ia berlaku sebagai jalan pintas sekitar isolasi. *Arrester* membentuk jalan yang mudah untuk dilalui oleh kilat atau petir, sehingga tidak timbul tegangan lebih yang tinggi pada peralatan.

Selain melindungi peralatan dari tegangan lebih yang diakibatkan oleh tegangan lebih external, *arrester* juga melindungi peralatan yang diakibatkan oleh tegangan lebih internal seperti surja hubung, selain itu *arrester* juga merupakan kunci dalam koordinasi isolasi suatu system tenaga listrik. Bila surja datang ke gardu induk *arrester* bekerja melepaskan muatan listrik serta mengurangi tegangan abnormal yang akan mengenai peralatan dalam gardu induk.

Persyaratan yang harus dipenuhi oleh *arrester* adalah sebagai berikut :

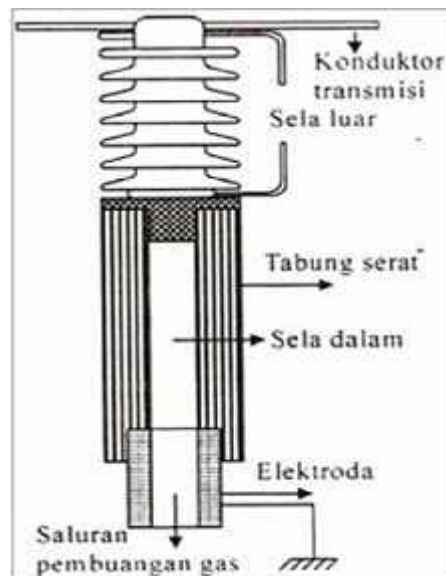
Tegangan percikan (*sparkover voltage*) dan tegangan pelepasannya (*discharge voltage*), yaitu tegangan pada terminalnya pada waktu pelepasan, harus cukup rendah, sehingga dapat mengamankan isolasi peralatan.

⁵ Soli Akbar Hutagaol, *Studi Tentang Sistem Penangkal Petir pada BTS*, Medan, 2009.

Tegangan percikan disebut juga tegangan gagal sela (*gap breakdown voltage*) sedangkan tegangan pelepasan disebut juga tegangan sisa (*residual voltage*) atau jatuh tegangan (*voltage drop*).^[6]

2.8.1 Jenis ekspulsi

Arrester jenis ini mempunyai dua jenis sela, yaitu sela luar dan sela dalam. Sela dalam diletakkan di dalam tabung serat. Ketika pada terminal arrester tiba suatu surja petir, maka kedua sela tepercik. Arus susulan memanaskan permukaan dalam tabung serat, sehingga tabung akan mengeluarkan gas. Arus tersebut merupakan arus yang berbentuk sinusoidal, sehingga suatu saat pasti akan mencapai siklus dengan nilai nol. Ketika mencapai nol, maka gas pada tabung akan menjadi isolasi yang akan memadamkan arus tersebut. *Arrester* jenis ini mampu melindungi trafo distribusi dengan rating tegangan 3-15kV, tetapi belum mampu melindungi trafo daya yang memiliki rating daya lebih besar. *Arrester* jenis ekspulsi ini dapat juga dipasang pada saluran transmisi hantaran udara untuk mengurangi gangguan surja petir yang masuk ke gardu induk.



Gambar 2.4. Konstruksi arrester jenis ekspulsi ^[6]

⁶(Bonggas L. Tobing, peralatan tegangan tinggi edisi kedua, Erlangga, 2012, hal 58-60).



2.8.2 Jenis katup

Arrester jenis ini berupa beberapa sela percik yang dihubungkan seri dengan resistor tak linier. Resistor tak linier akan memiliki tahanan yang rendah ketika dialiri arus besar dan tahanan akan menjadi besar ketika arus kecil. Resistor yang umum digunakan berasal dari bahan silikon karbid. Sela percik dan resistor tak linier ditempatkan pada tabung isolasi sehingga *arrester* ini tak dipengaruhi udara luar.

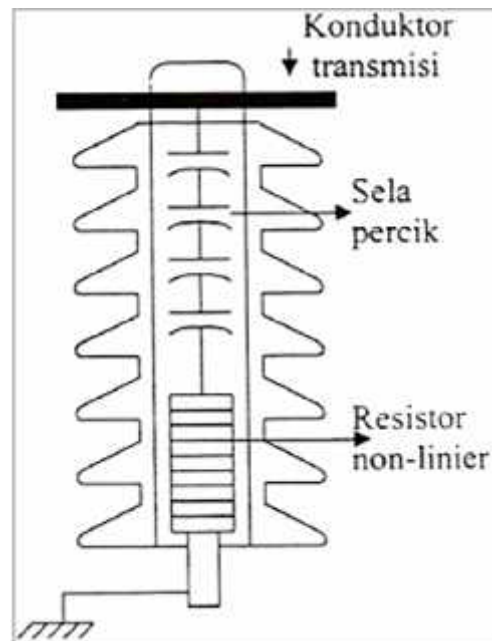
Metode pengamanan pada *arrester* ini adalah, ketika terjadi surja petir dan sela *arrester* akan tepercik maka akan ada arus masuk yang cukup besar pada *arrester*. Karena resistor yang digunakan adalah resistor tak linier, maka ketika awal surja nilai tahanan akan mengecil karena arus yang membesar. Hal ini akan membatasi tegangan maksimal pada terminal *arrester*, namun ketika arus mulai turun maka tahanan resistor membesar, sehingga arus susulan dapat dihambat oleh nilai tahanan yang besar ini. Biasanya arus dapat dikendalikan hingga mencapai arus nominal yang dikenal sebagai arus kendali sebesar 50A.

Saat tegangan sesaat sistem nol, percikan akan padam dan arus kendali menjadi nol serta arus susulan tidak berlanjut lagi.

Secara umum *arrester* jenis katup dibagi menjadi empat jenis, yaitu :

- a. Jenis Gardu
- b. Jenis Saluran (15-39kV)
- c. Jenis Gardu untuk Mesin (2,4-15kV)
- d. Jenis Distribusi untuk Mesin (120-750V)

⁶...(Bonggas L. Tobing, peralatan tegangan tinggi edisi kedua, Erlangga, 2012, hal 58-60).



Gambar 2.5. Konstruksi arrester jenis katup ^[6]



Gambar 2.6. Lightning arrester jenis gardu rating 150kV ^[6]

2.9 Prinsip Kerja *Lightning Arrester*

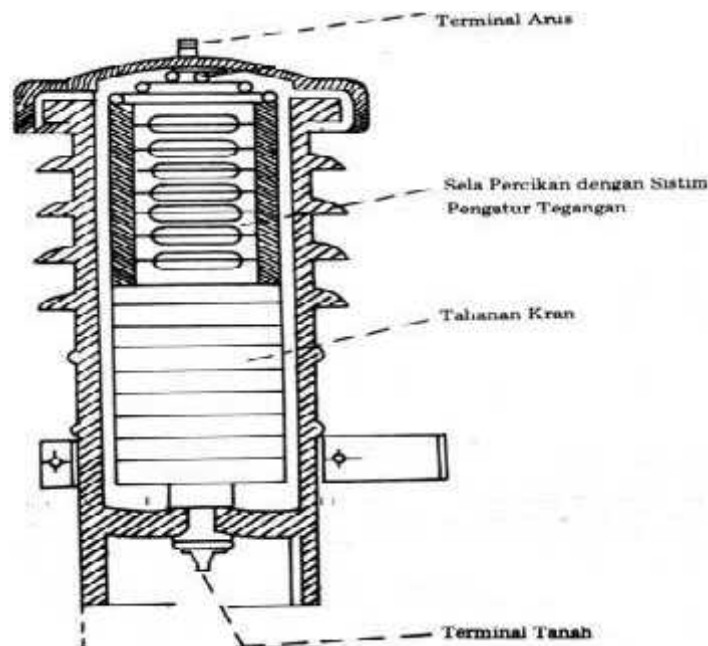
Lightning arrester merupakan peralatan yang didesain untuk melindungi peralatan sistem tenaga listrik dari tegangan lebih (baik surja hubung maupun surja petir) dan pengaruh *follow current*. *Lightning arrester* memiliki fungsi utama memotong tegangan lebih yang menuju peralatan sistem tenaga listrik yang dilindunginya.

⁶(Bonggas L. Tobing, peralatan tegangan tinggi edisi kedua, Erlangga, 2012, hal 58-60).



Tegangan lebih ini dapat berupa surja petir, surja hubung, maupun tegangan lebih di dalam sistemnya sendiri. *Lightning arrester* bersifat *by pass* di sekitar isolasi yang membentuk jalan dan mudah dilalui arus kilat, sehingga tidak timbul tegangan lebih pada peralatan sistem tenaga listrik. Pada keadaan normal *lightning arrester* harus mampu bertindak sebagai isolator yang tahanannya tinggi sehingga hanya mengalirkan beberapa miliampere arus bocor dari tegangan sistem ke tanah, namun bila terkena sambaran petir *lightning arrester* berubah menjadi 2 konduktor yang tahanannya relatif sangat rendah sehingga dapat mengalirkan ribuan ampere arus surja ke tanah.

Berdasarkan fungsi *lightning arrester* sebagai pelindung peralatan sistem tenaga listrik dari tegangan surja, maka pada umumnya *lightning arrester* dipasang di setiap ujung SUTT yang memasuki gardu induk. Ada kalanya *lightning arrester* dipasang pada transformator dan pada peralatan lainnya untuk menjamin terlindungnya peralatan sistem tenaga listrik tersebut dari tegangan lebih.^[7]



Gambar 2.7 Bagian-bagian *lightning arrester* ^[7]



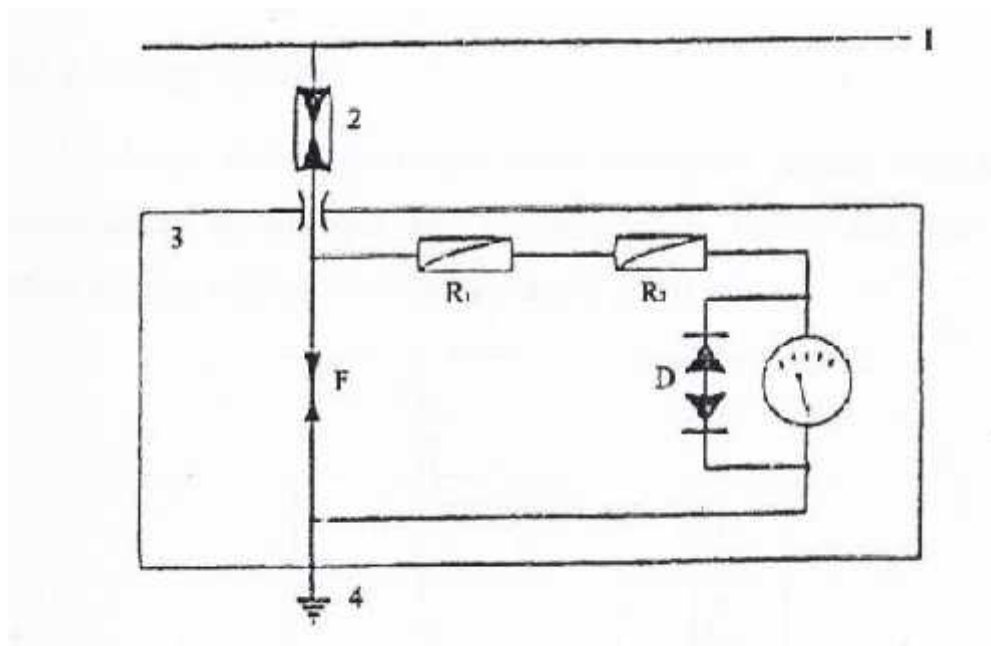
2.10 Perlengkapan *Lightning Arrester*

Lightning arrester memiliki beberapa perlengkapan yaitu :

- a. miliamperemeter
- b. *discharge counter*^[7]

2.10.1 Miliamperemeter

Miliamperemeter digunakan untuk memantau arus bocor yang dipasang antara *lightning arrester* dengan konduktor pentanahan. 3 Jika arus bocor melewati batas yang diijinkan (2 mA), maka isolator arrester harus dibersihkan.^[6]



Gambar 2.8 Rangkaian miliamperemeter ^[7]

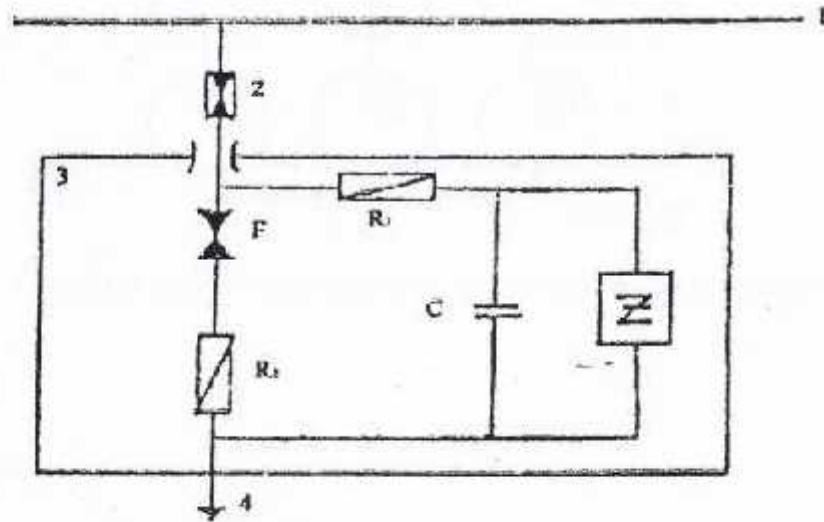
Keterangan :

1. Konduktor fasa I. Instrument mA
2. *Lightning Arrester* D. Dioda Zener
3. Miliammeter F. Spark Gap
4. *Earth Connection*
- R1. Tahanan nonlinear
- R2. Series Resistor ^[6]



2.10.2 Discharge counter

Discharge Counter berfungsi untuk memantau jumlah kerja *lightning arrester* yang terpasang antara *lightning arrester* dan terminal pentanahan. Terdiri dari relay penghitung, kapasitor, dan dua tahanan tak linear, serta sela percikan.



Gambar 2.9 Rangkaian *discharge counter* ^[7]

Keterangan :

1. Konduktor Fasa F. *Spark gap*
2. *Lightning arrester* Z. *Counting Relay*
3. *Discharge Counter* R1,R2. Tahanan nonlinear
4. *Earth connection* C. Kapasitor

2.11 Pemasangan Perlengkapan *Lightning Arrester*

Pemasangan miliamperemeter dan *discharge counter* dihubung seri dengan *lightning arrester* dan diletakkan antara *lightning arrester* dan pentanahan dengan susunan sebagai berikut.

⁷Ir. Reynaldo. Zoro, Perlindungan Terhadap Tegangan Lebih Petir dan Koordinasi Isolasi pada



BAB IV

PEMBAHASAN

41. Cara Kerja *Arrester* Melindungi Peralatan (Transformator Daya)

Cara kerja *Lightning arrester* melindungi peralatan (transformator daya) adalah dengan cara membatasi surja tegangan lebih yang datang dan mengalirkan ke tanah. Tegangan lebih ini dapat berupa surja petir, surja hubung, maupun tegangan lebih di dalam sistemnya sendiri. *Lightning arrester* berifat *by pass* di sekitar isolasi yang membentuk jalan dan mudah dilalui arus kilat, sehingga tidak timbul tegangan lebih pada peralatan sistem tenaga listrik. Pada keadaan normal *Lightning arrester* pada transformator daya 54 MVA bertindak sebagai isolator yang tahanannya tinggi dan tegangan transformator daya 54 MVA masih di bawah tegangan kerja arrester yaitu 152 kV, namun bila terkena sambaran petir *lightning arrester* berubah menjadi konduktor yang tahanannya relatif sangat rendah dan tegangan sambaran petir terhadap arrester di atas 152 kV.

4.2 Hasil Perhitungan Pengaruh Jarak Pemasangan *Arrester*

Dalam menganalisa jarak pemasangan *Lightning Arrester* dapat diperhitungkan melalui data-data peralatan (Transformator dan *Lightning Arrester*) yang ada dan standar IEC / SPLN. Dengan menggunakan beberapa rumus yang berpengaruh dari segi penempatan *Lightning Arrester*. Penulis dalam hal ini menganalisa efisiensi jarak *Lightning Arrester* yang terpasang pada Transformator daya 54 MVA di Pusat Listrik Keramasan dengan jarak pemasangan yang baik dan aman menurut standard IEC dan standard SPLN dengan cara memperhitungkan rumus yang ada, apakah *Lightning Arrester* yang terpasang sudah baik (*efisien*).



4.2.1 Perhitungan tegangan pengenalan (tegangan dasar) *arrester*

Tegangan pengenalan (tegangan dasar) *Lightning Arrester* dapat di perhitungkan dengan persamaan 2.1

$$E_r = \alpha \cdot \beta \cdot V_m$$

Diketahui :

α : 0,8 (menurut rekomendasi IEC system 150 kV yang ditanahkan langsung sehingga memiliki koefisien 0,8)

β : 1,1 (untuk tegangan sistem tertinggi umumnya di ambil 110 % dari tegangan nominal sistem)

V_m : 150 kV (tegangan pada sisi sekunder Transformator)

Jadi :

$$E_r = \alpha \cdot \beta \cdot V_m$$

$$E_r = 0,8 \cdot 1,1 \cdot 150$$

$$E_r = 132 \text{ kV}$$

Dari hasil perhitungan menurut standard IEC di atas maka didapat untuk tegangan pengenalan (Tegangan dasar) *lightning arrester* adalah 132 kV dan BIL (*Basic Impuls Level*) transformator daya 54 MVA adalah 650 kV, maka faktor keamanan yang optimum dapat diperoleh.

Berdasarkan tabel 1 menurut IEC maka dapat diketahui tegangan pengenalan *lightning arrester* adalah 138 kV, tegangan kerja 460 kV dan kecuraman muka gelombang 1.030 kV/ μ s.



4.2.2 Perhitungan jarak perlindungan *arrester*

Penempatan *arrester* yang baik adalah ditempatkan sedekat mungkin dengan peralatan yang di lindungi. Karena itu jarak tersebut sangat diperhitungkan agar *arrester* bekerja dengan baik. Jika jarak terlalu jauh, tegangan gangguan dari surja petir yang sampai ke terminal peralatan akan lebih tinggi dari tegangan pelepasan lightning *arrester*.

Penempatan lightning *arrester* pada transformator daya 54 MVA 150 kV pada pusat listrik keramasan ditempatkan pada jarak 2 meter. Untuk tegangan kerja lightning *arrester* (U_A) dapat ditentukan pada tabel 1 sebesar 460 kV, untuk kecuraman muka gelombang ($\frac{du}{dt}$) menurut rekomendasi IEC adalah 500 kV/ μ s, dan kecepatan (V) menurut rekomendasi IEC adalah 300 μ s jarak perlindungan lightning *arrester* dapat di perhitungkan dengan persamaan 2.2

$$U_t = U_A + 2 \frac{du}{dt} \chi \frac{L}{V}$$

Diketahui :

U_A : 460 kV (berdasarkan rekomendasi IEC pada tabel 1 lampiran)

$\frac{du}{dt}$: 1.030 kV/ μ s (berdasarkan pada tabel 1 lampiran)

L : 2 m (jarak Lightning *Arrester* pada transformator daya 54 MVA)

V : 300 m/ μ s (berdasarkan rekomendasi IEC)

Jadi :

$$U_t = U_A + 2 \frac{du}{dt} \chi \frac{L}{V}$$

$$U_t = 460 + 2 \cdot 1030 \cdot \frac{2}{300}$$

$$U_t = 460 + 1373$$

$$U_t = 473,73 \text{ kV}$$



Maka didapat harga tegangan gelombang berjalan yang datang pada trafo (U_t) = 473,73 kV, dan koordinasi isolasi transformator adalah $U_t = \frac{650}{1,2} = 541,6$ kV, di mana harga menurut konstruksi TID (BIL) transformator daya 54 MVA adalah 650 kV dapat dilihat pada lampiran konstruksi transformator daya 54 MVA

Maka dapat dihitung jarak pemasangan *lightning arrester* pada persamaan 2.3

$$L = \frac{U_t - U_A}{2 \frac{du}{dt}} \times V$$

Diketahui :

$$U_t \quad : 473,73 \text{ kV}$$

$$U_A \quad : 460 \text{ kV (rekomendasi IEC pada tabel 1 lampiran)}$$

$$\frac{du}{dt} \quad : 1030 \text{ kV}/\mu\text{s (rekomendasi IEC)}$$

Jadi :

$$L = \frac{U_t - U_A}{2 \frac{du}{dt}} \times V$$

$$L = \frac{473,73 - 460}{2.1030} \times 300$$

$$L = \frac{13,73}{2060} \times 300$$

$$L = 1,99 \text{ meter}$$

Didapatkan perhitungan jarak menurut data-data standard rekomendasi IEC, jarak antara *arrester* dengan transformator daya 54 MVA di pusat listrik keramasan adalah 1,99 meter, sedangkan dalam kenyataan di lapangan jarak antara *arrester* dengan transformator daya 54 MVA di pusat listrik keramasan adalah 2 meter, sehingga pemasangan efisien adalah



$\frac{1,99}{2} \times 100 = 99.5 \%$ karena masih mendekati harga maksimum. Untuk jarak perlindungan ini dapat dikatakan aman bagi peralatan. Untuk mendapatkan perlindungan yang optimal, maka jarak antara *arrester* dan peralatan (*S*) harus sekecil mungkin agar *Ep* didapatkan tidak melebihi kekuatan isolasi alat (BIL).

4.2.3 Perhitungan jarak pemasangan arrester menurut kecuraman muka Gelombang yang datang

Maka dapat dihitung jarak pemasangan *lightning arrester* pada persamaan 2.3

$$L = \frac{U_t - U_A}{2 \frac{du}{dt}} \times V$$

Diketahui :

$$U_t : 473,73 \text{ kV}$$

$$U_A : 460 \text{ kV (rekomenisasi IEC pada tabel 1 lampiran)}$$

$$\frac{du}{dt} : 100 \text{ kV}/\mu\text{s}, 200 \text{ kV}/\mu\text{s}, 300 \text{ kV}/\mu\text{s}, 400 \text{ kV}/\mu\text{s}, 500 \text{ kV}/\mu\text{s}, 600 \text{ kV}/\mu\text{s}, \\ 700 \text{ kV}/\mu\text{s}, 800 \text{ kV}/\mu\text{s}, 900 \text{ kV}/\mu\text{s}, 1000 \text{ kV}/\mu\text{s}$$

$$V : 300 \text{ m}/\mu\text{s (rekomenisasi IEC)}$$

Jadi :

a. untuk kecuraman muka gelombang yang datang sebesar $100 \text{ kV}/\mu\text{s}$:

$$L = \frac{U_t - U_A}{2 \frac{du}{dt}} \times V$$

$$L = \frac{473,73 - 460}{2 \cdot 100} \times 300$$

$$L = \frac{13,73}{200} \times 300$$



$L = 20,59$ meter persentase efisiensinya adalah $\frac{2}{20,59} \times 100 = 9,7 \%$

b. untuk kecuraman muka gelombang yang datang sebesar $200 \text{ kV}/\mu\text{s}$:

$$L = \frac{U_t - U_A}{2 \frac{du}{dt}} \times V$$

$$L = \frac{473,73 - 460}{2.200} \times 300$$

$$L = \frac{13,73}{400} \times 300$$

$L = 10,29$ meter persentase efisiensinya adalah $\frac{2}{10,29} \times 100 = 19,4 \%$

c. untuk kecuraman muka gelombang yang datang sebesar $300 \text{ kV}/\mu\text{s}$:

$$L = \frac{U_t - U_A}{2 \frac{du}{dt}} \times V$$

$$L = \frac{473,73 - 460}{2.300} \times 300$$

$$L = \frac{13,73}{600} \times 300$$

$L = 6,86$ meter persentase efisiensinya adalah $\frac{2}{6,86} \times 100 = 29,1 \%$

d. untuk kecuraman muka gelombang yang datang sebesar $400 \text{ kV}/\mu\text{s}$:

$$L = \frac{U_t - U_A}{2 \frac{du}{dt}} \times V$$

$$L = \frac{473,73 - 460}{2.400} \times 300$$

$$L = \frac{13,73}{800} \times 300$$

$L = 5,14$ meter persentase efisiensinya adalah $\frac{2}{5,14} \times 100 = 38,9 \%$

e. untuk kecuraman muka gelombang yang datang sebesar $500 \text{ kV}/\mu\text{s}$:



$$L = \frac{U_t - U_A}{2 \frac{du}{dt}} \times v$$

$$L = \frac{473,73 - 460}{2.500} \times 300$$

$$L = \frac{13,73}{1000} \times 300$$

L = 4,11 meter persentase efisiensinya adalah $\frac{2}{4,11} \times 100 = 48,6 \%$

f. untuk kecuraman muka gelombang yang datang sebesar 600 kV/ μ s :

$$L = \frac{U_t - U_A}{2 \frac{du}{dt}} \times v$$

$$L = \frac{473,73 - 460}{2.600} \times 300$$

$$L = \frac{13,73}{1200} \times 300$$

L = 3,43 meter persentase efisiensinya adalah $\frac{2}{3,43} \times 100 = 58,3 \%$

g. untuk kecuraman muka gelombang yang datang sebesar 700 kV/ μ s :

$$L = \frac{U_t - U_A}{2 \frac{du}{dt}} \times v$$

$$L = \frac{473,73 - 460}{2.700} \times 300$$

$$L = \frac{13,73}{1400} \times 300$$

L = 2,94 meter persentase efisiensinya adalah $\frac{2}{2,94} \times 100 = 68 \%$

h. untuk kecuraman muka gelombang yang datang sebesar 800 kV/ μ s :

$$L = \frac{U_t - U_A}{2 \frac{du}{dt}} \times v$$

$$L = \frac{473,73 - 460}{2.800} \times 300$$



$$L = \frac{13,73}{1600} \times 300$$

$$L = 2,57 \text{ meter} \text{ persentase efisiensinya adalah } \frac{2}{2,57} \times 100 = 77,8 \%$$

i. untuk kecuraman muka gelombang yang datang sebesar 900 kV/ μ s :

$$L = \frac{U_t - U_A}{2 \frac{du}{dt}} \times v$$

$$L = \frac{473,73 - 460}{2.900} \times 300$$

$$L = \frac{13,73}{1800} \times 300$$

$$L = 2,28 \text{ meter} \text{ persentase efisiensi adalah } \frac{2}{2,28} \times 100 = 87,7 \%$$

j. untuk kecuraman muka gelombang yang datang sebesar 1000 kV/ μ s :

$$L = \frac{U_t - U_A}{2 \frac{du}{dt}} \times v$$

$$L = \frac{473,73 - 460}{2.1000} \times 300$$

$$L = \frac{13,73}{2000} \times 300$$

$$L = 2,05 \text{ meter} \text{ persentase efisiensi adalah } \frac{2}{2,05} \times 100 = 97,5 \%$$

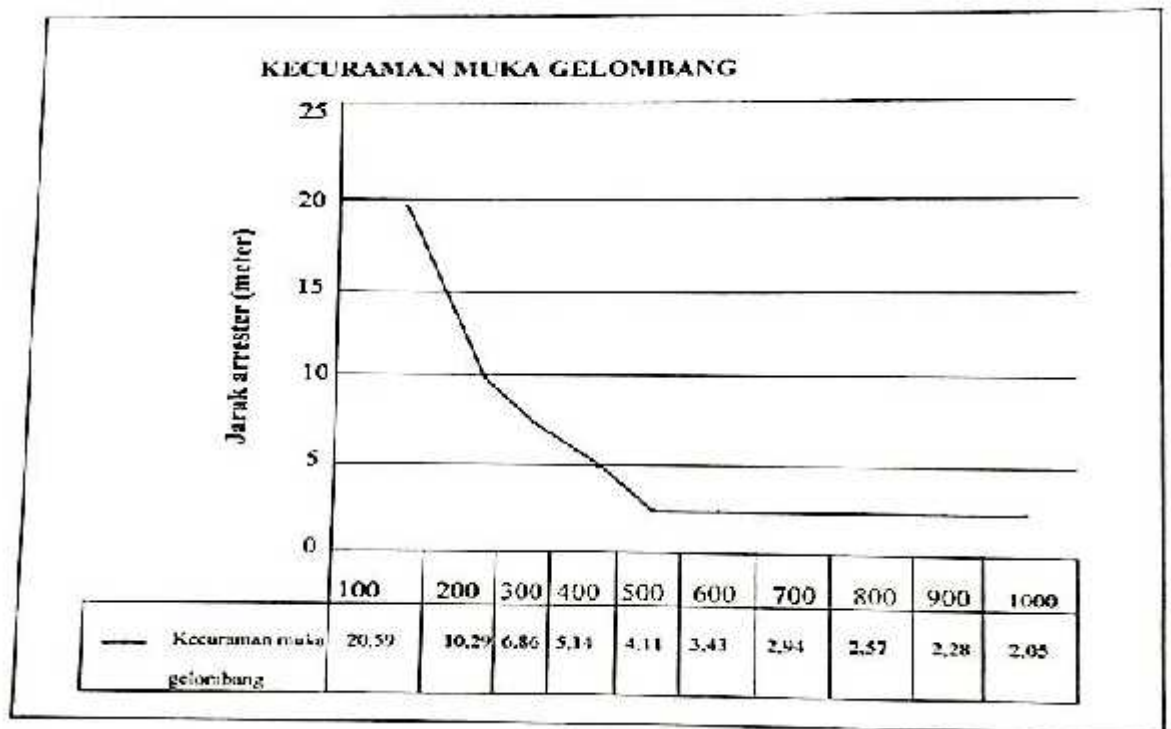
Tabel 4.1 Jarak Pemasangan Arrester Menurut Kecuraman Muka Gelombang Yang Datang

No.	Kecuraman Muka Gelombang Yang Datang	Jarak Pemasangan Arrester Ke Transformator	Persentase Efisiensi
1.	100 kV/ μ s	20,59 meter	97%
2.	200 kV/ μ s	10,29 meter	19,4%
3.	300 kV/ μ s	6,86 meter	29,1%
4.	400 kV/ μ s	5,14 meter	38,9%
5.	500 kV/ μ s	4,11 meter	48,6%
6.	600 kV/ μ s	3,34 meter	58,3%
7.	700 kV/ μ s	2,94 meter	68%
8.	800 kV/ μ s	2,57 meter	77,8%
9.	900 kV/ μ s	2,28 meter	87,7%
10.	1000 kV/ μ s	2,05 meter	97,5%

Dari perhitungan jarak pemasangan lightning arrester pada transformator daya terhadap kecuraman muka gelombang, dengan demikian jika nilai kecuraman muka gelombang semakin besar maka jarak pemasangan arrester harus sedekat mungkin ke transformator dan hasil persentase efisiensinya tidak efisien jika di bawah nilai persentase 100 % tetapi masih terbilang efisien jika mendekati nilai persentase 100 %. Hasilnya dapat dilihat pada tabel perbandingan 4.1 untuk jarak pemasangan lightning arrester pada transformator 54 MVA di pusat listrik keramasan adalah 2 meter dan yang sesuai dengan jarak pemasangan menurut muka gelombang adalah 1000 kV/ μ s.

4.2.4 Grafik perbandingan jarak arrester

Setelah di dapat hasil perhitungan jarak arrester terhadap transformator dapat dibuat grafik perbandingan jarak arrester berdasarkan kecuraman muka gelombang sebagai berikut :



Gambar 4.1 Grafik perbandingan jarak arrester



4.3 Pengaruh Lokasi Penempatan Arrester

Lokasi penempatan arrester ditempatkan sedekat mungkin dengan peralatan yang dilindungi, dalam hal ini lightning arrester pada transformator daya 54 MVA ditempatkan 2 meter dari transformator daya 54 MVA, tetapi untuk memperoleh kawasan perlindungan yang lebih baik, maka ada kalanya arrester ditempatkan dengan jarak tertentu dengan peralatan yang dilindungi. Jarak arrester dengan peralatan yang dilindungi berpengaruh terhadap besarnya tegangan yang tiba di peralatan. Jika jarak arrester terlalu jauh, maka tegangan yang tiba pada peralatan. Jika jarak arrester terlalu jauh, maka tegangan yang tiba pada peralatan dapat melebihi tegangan yang dapat dipikulnya. Peralatan masih dapat dilindungi dengan baik apabila jarak arrester dengan peralatan masih dalam batas yang diijinkan. Batas yang diijinkan menurut perhitungan rekomendasi IEC adalah 1,99 meter dari transformator daya 54 MVA. Sesuai persentase efisiensi pada tabel 4.1 jika persentase di bawah 100% maka isolasi penempatan tidak efisien sebaiknya dipasang tepat pada nilai persentase efisiensi 100% maka lokasi penempatan sudah sangat efisien menurut pemasangan arrester dengan memperhitungkan kecuraman muka gelombang yang datang.

Meskipun yang paling penting adalah menempatkan arrester sedekat mungkin dengan alat-alat yang dilindungi, tetapi dalam praktek kadang-kadang hal ini tidak memungkinkan. Jika jarak itu terlalu jauh, tegangan abnormal yang sampai terminal dari peralatan akan lebih tinggi dari pada tegangan pelepasan arrester.

Gambar 2.10 Pemasangan perlengkapan *lightning arrester* ^[7]

Keterangan:

1. Konduktor fasa
2. *Lightning arrester*
3. Miliamperemeter
4. *Discharge counter*
5. Pentanahan

2.12 Bagian-Bagian Lightning Arrester Dan Fungsinya

Active Part dari *Arrester* terdiri dari Kolom Varistor Metal Oksida yang dipasang dengan konstruksi supporting. Keping metal oksida dibuat dalam bentuk silinder yang besaran diameter keping tergantung pada kemampuan absorpsi energi dan nilai discharge arus. Nilai diameter bervariasi dari 30 mm untuk arrester kelas distribusi hingga 100 mm untuk arrester HV/EHV. Setiap keping blok memiliki tinggi bervariasi dari 20 hingga 45 mm. Semakin tinggi keping blok metal oksida akan semakin sulit proses produksinya.

Nilai *residual voltage* untuk setiap keping block metal oksida pada saat dilewatkan arus impulse standar 10 kA tergantung pada diameter keping itu. Sebagai contoh pada MO dengan diameter 32 mm nilai *residual voltagenya* adalah 450 V/ mm, sementara untuk diameter 70 mm nilai residual voltage menurun menjadi 280 V/mm.

⁷Ir. Reynaldo. Zoro, Perlindungan Terhadap Tegangan Lebih Petir dan Koordinasi Isolasi pada Sistem Tenaga Listrik. ITB, 1987. III



Gambar 2.11 Keping metal oksida ^[8]

Arrester dengan diameter 70 mm ini memiliki tinggi 45 mm, maka untuk satu keping blok metal oksida, mampu memberikan *residual voltage* sebesar 12,5 kV. Bila *arrester* ini hendak memiliki *residual voltage* sebesar 823 kV, maka diperlukan setidaknya 66 keping blok dipasang tersusun ke atas. Tinggi *arrester* akan mencapai 3 meter. Oleh karena ketinggian 3 meter dinilai tidak praktis, dan tidak memiliki kestabilan mekanis yang baik, maka *arrester* ini dibuat setidaknya 2 tumpuk.^[8]

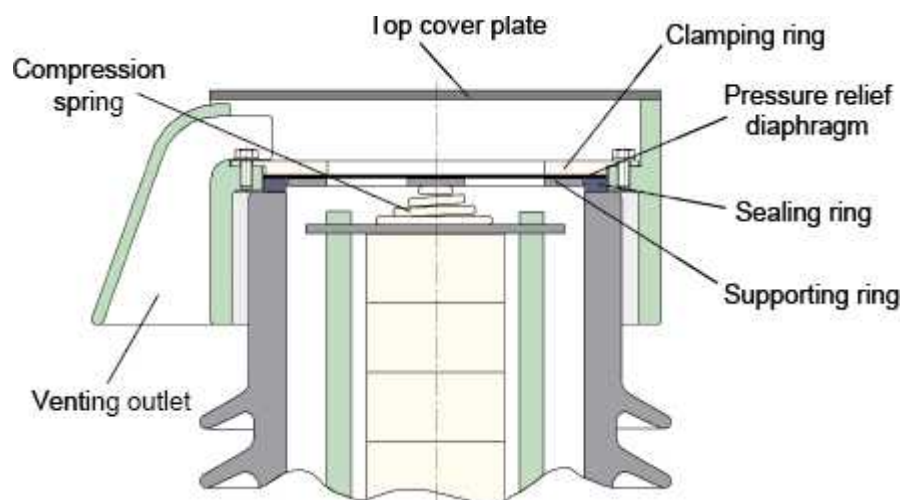


Gambar 2.12. Struktur lightning arrester ^[8]

⁸Pedoman pemeliharaan peralatan gardu induk PT.PLN (Persero)

Material Metal Oksida ditaruh dalam tabung yang terbuat dari aluminium. Tabung ini memiliki kemampuan menahan mekanis, juga sebagai pendingin keping. Tumpukan keping metal oksida ditaruh dalam sangkar rod, terbuat dari FRP (*Fiber Glass Reinforced Plastic*).

Compression Ring dipasang pada ujung kolom *active part* untuk memastikan susunan berada dalam posisi tetap di dalam kompartemen housing. Kompartemen housing sendiri saat ini terbuat dari porcelain, walau beberapa sudah mulai beralih ke polimer. Alumunium flange direkatkan dengan menggunakan semen sebagai dudukan. Untuk bahan alumunium sendiri, menurut IEC 60672-3, terdapat 2 jenis yaitu: Porselin Quartz dan Porselin Alumina. Porselin Alumina memiliki daya tahan yang lebih baik. Proses glasur preselin tidak hanya pada sisi dalam dari arrester, namun juga pada sisi luar dari arrester.



Gambar 2.13. Struktur pressure relief ^[8]

Sealing Ring dan *Pressure Relief Diaphragm* dipasang di kedua ujung *arrester*. Material *sealing ring* harus memiliki daya tahan terhadap kondisi ozone, agar tetap mampu melakukan seal dengan baik. Material yang sering dipilih adalah dari jenis material sintesis, jenis karet biasa tidak mampu digunakan untuk hal ini. Sementara untuk *Pressure Relief Diaphragm*, dipilih material dari

⁸Pedoman pemeliharaan peralatan gardu induk PT.PLN (Persero)

jenis steel kualitas tinggi, atau nikel. Keduanya harus mampu tahan hingga 30 tahun, Pressure relief dan clamping ring disatukan dengan clamping ring yang dipasang pada flange menggunakan baud.

Pada saat terjadi proses discharge yang dibarengi dengan peningkatan suhu yang sangat tinggi, maka, akan terjadi pemuaian suhu di dalam kompartemen arrester, kelebihan tekanan inilah yang perlu dilepas dari dalam kompartemen, pressure relief bekerja sebagai katup pelepasan.



Gambar 2.14. Arrester porselain dengan 2 kompartemen ^[8]

Grading ring penting diperlukan untuk *arrester* dengan ketinggian 1,5 – 2 meter (atau *arrester* yang ditumpuk menjadi beberapa unit). *Grading Ring* berfungsi sebagai control distribusi tegangan dari ujung atas arrester (bagian bertegangan) menuju bagian bawah, hal ini diperlukan oleh karena *earth capacitance* berpengaruh pada *Lightning Arrester*. Pemilihan ukuran *grading ring* pun perlu mempertimbangkan jarak antar fasa.

⁸Pedoman pemeliharaan peralatan gardu induk PT.PLN (Persero)

Jarak aman antar konduktor sama dengan jarak antar *grading ring* antar fasa dari *arrester*.

Pada *Arrester* yang terpasang pada GI/ GITET umumnya dilengkapi dengan peralatan monitoring, apakah berupa *counter*, *monitoring spark gap* ataupun meter arus bocor. *Arrester* tidak langsung dibumikan, namun dilewatkan terlebih dahulu pada peralatan *monitoring* tersebut, sehingga dibutuhkan juga *insulating feet*/ insulator dudukan.^[8]



Gambar 2.15. *Counter arrester* dan meter arus bocor total^[8]

Surge Counter berfungsi untuk menghitung jumlah kerja dari *arrester* melakukan proses *discharge*, sementara *leakage current detector* berfungsi untuk memberikan besaran arus bocor pada *arrester* pada tegangan operasi kontinu, nilai arus bocor ini merupakan arus bocor total yang umumnya merupakan arus kapasitif, arus bocor ini juga bergantung pada besar arus bocor permukaan yang nilainya tergantung pada kebersihan *housing* dari *arrester*. Arus bocor dari kapasitansi bocor peralatan gardu induk lain juga memungkinkan untuk turut terukur oleh meter ini.

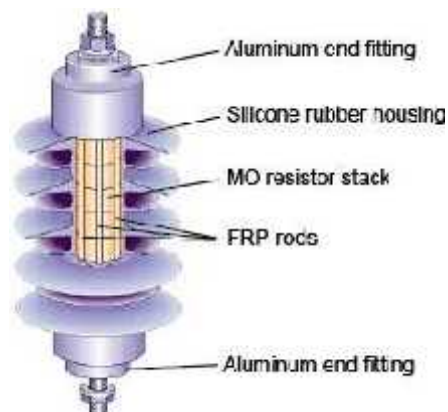
Spark Over detector memiliki fungsi yang serupa dengan *surge counter*, hanya saja, untuk melihat apakah *arrester* tersebut telah melakukan proses *discharge* *kompartemen SparOver* perlu dibuka dan dilakukan pengecekan apakah terdapat tanda bekas *discharge* diantara kedua pelat tersebut.^[8]

⁸Pedoman pemeliharaan peralatan gardu induk PT.PLN (Persero)



Gambar 2.16. Peralatan monitoring spark gap ^[8]

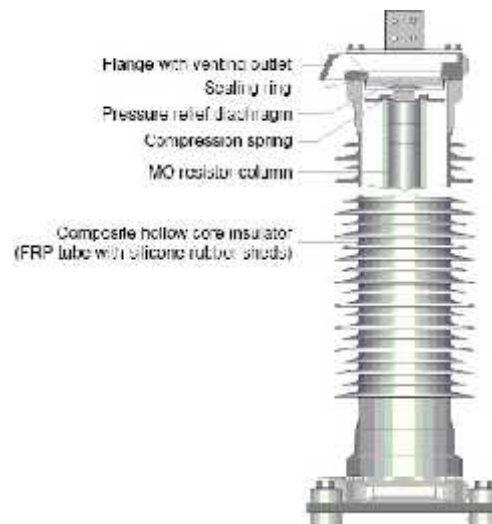
Teknologi terakhir dari *arrester* adalah dengan memanfaatkan polimer sebagai kompartemen housing. Konstruksi desainnya tidak jauh berbeda dengan *arrester* dengan kompartemen terbuat dari porselin. Pada *arrester* kelas distribusi, polimer dicetak menempel dengan kolom metal oksida (molded), hal ini memberikan keuntungan: bebas void, ikatan yang kuat serta posisi permanen. Kelebihan lain yang diberikan adalah polimer memiliki kemampuan hydrophobicity yang baik, mudah dibawa, serta menurunkan biaya produksi.



Gambar 2.17. *Arrester* polymer kelas distribusi (*Molded*) ^[8]

⁸Pedoman pemeliharaan peralatan gardu induk PT.PLN (Persero)

Namun untuk arrester kelas HV/ EHV, desain mold tersebut tidak dapat dilakukan dengan pertimbangan kekuatan mekanis serta daya tahan elektrik. Sehingga desainnya sama dengan *arrester* porselin, hanya saja menggunakan kompartemen polimer, seperti dapat dilihat pada gambar 2.18 di bawah ini:



Gambar 2.18. Desain arrester dengan polymer housing di kelas HV/ EHV ^[8]

2.13 Sub Sistem Pendukung *Lightning Arrester*

Lightning arrester memiliki beberapa sub sitem pendukung yaitu :

- a. sub sistem pemotong surja.
- b. sub sistem isolasi.
- c. sub sistem *counter* dan meter penunjuk.
- d. sub sistem pentanahan.
- e. sub sistem pengaman tekanan lebih internal.
- f. sub sitem konstruksi penyangga.
- g. sub sistem konektor.^[8]

2.13.1 Sub sistem pemotong surja

Merupakan sub sistem kritis dari sebuah *lightning arrester* yang berfungsi memotong tegangan lebih dari surja. Mayoritas *lightning arrester* saat ini menggunakan tipe Metal Oksida.^[8]

⁸ Pedoman pemeliharaan peralatan gardu induk PT.PLN (Persero)



2.13.2 Sub sistem isolasi

Merupakan sub sistem yang memiliki sub fungsi memisahkan bagian konduktor bertegangan dengan *ground*, terdiri dari kompartemen insulator (*housing*), baik berupa keramik maupun polymer, juga insulator dudukan (*insulation feet*) berada di sisi bawah dari *lightning arrester*. Kompartemen perlu diperhatikan tingkat polusinya, semakin tinggi tingkat polusi yang melekat, memungkinkan nilai arus bocor permukaan menjadi tinggi.^[8]

2.13.3 Sub sistem counter & meter petunjuk

Counter berfungsi untuk menunjukkan jumlah surja yang telah terjadi pada *lightning arrester*. Sementara meter petunjuk berfungsi untuk menunjukkan besar nilai arus bocor yang mengalir dari ujung atas *lightning arrester* menuju *ground* dalam kondisi operasi tegangan kontinu.^[8]

2.13.4 Sub sistem pentanahan

Merupakan komponen yang berfungsi untuk meneruskan baik arus bocor selama tegangan operasi kontinu, maupun surja menuju bumi. Kawat pentanahan terbuat dari tembaga.

Kawat pentanahan umumnya dipasang seri dengan peralatan *monitoring* (*counter* ataupun meter) sebelum dibumikan. Kondisi konektor harus dipastikan baik, seperti: tidak terdapat rantas pada kawat, ataupun koneksi-koneksi dalam keadaan baik (mur dan baut), dan kawat tembaga tidak ditumbuhi lumut.^[8]

2.13.5 Sub sistem pengaman tekanan lebih internal

Memiliki fungsi melepaskan tekanan lebih di dalam *lightning arrester* yang mungkin timbul ketika terjadi *discharge* arus surja tinggi. Fungsinya mirip *pressure relief* pada transformator. Pada saat terjadi surja, baik *single* maupun *multiple*, suhu keeping metal oksida mampu mencapai 170°C – 200°C, oleh karenanya terjadi pemuaiian udara di dalam kompartemen udara, pemuaiian ini perlu dilepas keluar kompartemen untuk menghindari kompartemen (umumnya porselen menjadi pecah), katup kembali menutup dengan segera untuk menjaga agar tekanan udara di dalam kompartemen tetap lebih tinggi daripada tekanan udara luar.^[8]

⁸Pedoman pemeliharaan peralatan gardu induk PT.PLN (Persero)



2.13.6 Sub sistem konstruksi penyangga

Memiliki fungsi sebagai penyangga *lightning arrester* di atas permukaan tanah. Terdiri dari pondasi dan struktur besi penyangga.^[8]

2.13.7 Sub sistem konektor

Memiliki fungsi melakukan koneksi antara kawat konduktor dengan bagian atas *lightning arrester*, dan dari *lightning arrester* ke bagian pentanahan. Bagian ini rawan terjadi kelonggaran yang memungkinkan timbulnya *hot spot*.

Sub Sistem Aksesoris/ *Grading /Corona Ring* ^[8]

2.14 Pemilihan Letak Pemasangan *Lightning Arrester*

Ada beberapa ketentuan yang diperhitungkan dan dipertimbangkan dalam memilih letak lightning arrester :

- a. Tegangan kerja (Tegangan Pelepasan)
- b. TID (Tingkat Isolasi Dasar) peralatan
- c. Tegangan pengenalan Arrester^[9]

2.14.1 Tegangan kerja (tegangan pelepasan) *arrester*

Tegangan kerja atau tegangan pelepasan merupakan salah satu faktor yang menentukan tingkat perlindungan dari penangkap petir. Jika tegangan kerja penangkap petir ada di bawah BIL(*Basic Impulse Level*) dari peralatan yang dilindungi, maka faktor keamanan yang cukup untuk perlindungan peralatan yang optimum dapat diperoleh.

Tegangan kerja tergantung pada :

- a. Arus pelepasan dari arrester
- b. Kecuraman gelombang arus (di/dt)^[9]

2.14.2 TID (Tingkat isolasi dasar) peralatan

Pemakaian isolasi haruslah rasional dan ekonomis mungkin dengan tidak mengurangi kemampuan sebagai isolator. Di lain pihak diperlukan alat-alat pelindung guna melindungi peralatan listrik tersebut. Koordinasi isolasi diartikan

⁸Pedoman pemeliharaan peralatan gardu induk PT.PLN (Persero)

⁹Arismunandar Artono, Teknik Tenaga Listrik, PT. Pradnya Paramita, Jakarta, 1979, hal : 41



dalam bentuk langkah- langkah yang diambil untuk menghindari kerusakan pada transformator karena tegangan lebih. Jadi diperlukan korelasi antara daya isolasi transformator dan karakteristik alat-alat pelindung terhadap tegangan lebih, yang masing-masing ditentukan oleh tingkat ketahanan impuls dan tingkat perlindungan impulsnya.

Isolasi transformator daya didasarkan atas tingkat isolasi impuls dasar (TID). Tingkat isolasi dasar didefinisikan sebagai tingkat patokan yang dinyatakan dalam tegangan puncak impuls suatu gelombang dasar, yaitu menurut IEC adalah $1,2 \times 50 \mu$ detik.

Dalam menentuka TID transformator biasanya terlebih dahulu ditentukan tegangan tertinggi peralatan yang besarnya 10 % diatas tegangan nominal system.^[9]

2.14.3 Tegangan pengenalan *lightning arrester*

Pada umumnya pengenalan atau (rating) arrester hanya pengenalan tegangan. Pada beberapa jenis arrester perlu juga diketahui pengenalan arusnya untuk menentukan kapasitas thermal arrester tersebut.

Supaya pemakaian arrester lebih efektif dan ekonomis, perlu diketahui 4 karakteristiknya :

- c. Pengenal tegangan ini paling sedikit sama dengan tegangan maksimum yang mungkin timbul selama terjadi gangguan.
- d. Karakteristik perlindungan atau karakteristik impuls ini adalah untuk koordinasi yang baik antara arrester dan peralatan yang dilindungi.
- e. Kemampuan pemutus arus frekuensi dasar.
- f. Kemampuan menahan atau melewatkan arus surja.

⁹Arismunandar Artono, Teknik Tenaga Listrik, PT. Pradnya Paramita, Jakarta, 1979, hal : 41



⁹Arismunandar Artono, Teknik Tenaga Listrik, PT. Pradnya Paramita, Jakarta, 1979, hal : 41



Tegangan pengenal dapat diperhitungkan dengan rumus :

$$E_r = \alpha \cdot \beta \cdot V_m \dots\dots\dots (2.1)^{[9]}$$

Di mana :

- E_r = Tegangan pengenal
- = Koefisien Pentanahan (koefisien 0,8 / 80 % untuk sistem yang ditanahkan langsung yaitu sistem 150 kV dan koefisien 1,0 / 100 % untuk sitem yang tidak ditanahkan langsung yaitu sistem 70 kV) rekomendasi IEC
- = Toleransi untuk menghitung fluktansi tegangan (105 - 110 %)
- V_m = Tegangan nominal sistem^[9]

2.15 Lokasi Penempatan *Lightning Arrester*

Arrester ditempatkan sedekat mungkin dengan peralatan yang dilindungi. Tetapi untuk memperoleh kawasan perlindungan yang lebih baik, maka ada kalanya arrester ditempatkan dengan jarak tertentu dengan perlatan yang dilindungi. Jarak arrester dengan peralatan yang dilindungi berpengaruh terhadap besarnya tegangan yang tiba di peralatan. Jika jarak arrester terlalu jauh, maka tegangan yang tiba pada peralatan dapat melebihi tegangan yang dapat dipikulnya. Peralatan masih dapat dilindungi dengan baik apabila jarak arrester dengan peralatan masih dalam batas yang diijinkan. ^[9]

Meskipun yang paling penting adalah menempatkan arrester sedekat mungkin dengan alat-alat yang dilindungi, tetapi dalam praktek kadang- kadang hal ini tidak memungkinkan. Jika jarak itu terlalu jauh, tegangan abnormal yang sampai terminal dari peralatan akan lebih tinggi dari pada tegangan pelepasan arrester. Untuk menentukan jarak maksimum yang diizinkan antara arrester dengan alat yang dilindungi dikenal beberapa metode. Salah satunya adalah metode pantulan berulang. Metode ini adalah metode pendekatan yang dapat digunakan untuk menentukan jarak maksimum arrester dan peralatan dimisalkan hanya ada satu saluran yaitu keadaan yang berbahaya adalah sebagai berikut

$$U_t = U_A + 2 \frac{du}{dt} \times \frac{L}{v} \dots\dots\dots (2.2)^{[9]}$$

⁹Arismunandar Artono, Teknik Tenaga Listrik, PT. Pradnya Paramita, Jakarta,1979, hal : 41.

Dimana :

U_t = tegangan gelombang berjalan yang datang pada trafo (kV)

U_A = tegangan kerja arrester (kV)

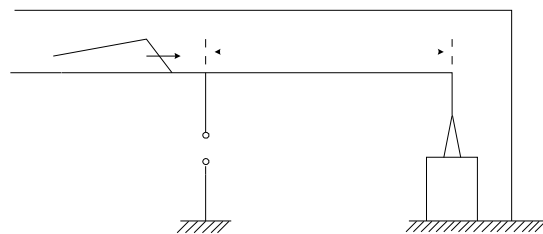
du/dt = kecuraman muka gelombang berjalan (kV/ μ s), dan berdasarkan rekomendasi standard IEC, umumnya dipakai 500 kV / μ s

V = kecepatan gelombang berjalan sepanjang saluran dengan kecepatan cahaya (300 m / μ s)

L = jarak antara trafo daya dan arrester (m)^[9]

2.16 Jarak Maksimum Arrester Dan Transformator Yang Dihubungkan Dengan Saluran Udara

Perlindungan yang baik diperoleh jika arrester ditempatkan sedekat mungkin dengan transformator. Tetapi, dalam kenyataannya, arrester harus ditempatkan dengan jarak tertentu, agar perlindungan dapat berlangsung dengan baik.



Gambar 2.19 Jarak transformator dan arrester ^[10]

Jika arrester dihubungkan dengan menggunakan saluran udara terhadap alat yang diindungi, maka untuk menentukan jarak yang baik antara arrester dengan trafo, dinyatakan dengan persamaan. ^[10]

$$L = \frac{U_t - U_A}{2 \frac{du}{dt}} \times v \dots\dots\dots (2.3)^{[11]}$$

¹⁰Arismunandar Artono, Teknik Tenaga Listrik, PT. Pradnya Paramita, Jakarta,1979, hal : 41

¹¹TS. Hutahuruk, *Gelombang Berjalan dan Proteksi Surja*, Erlangga.1989, hal :113

Dimana :

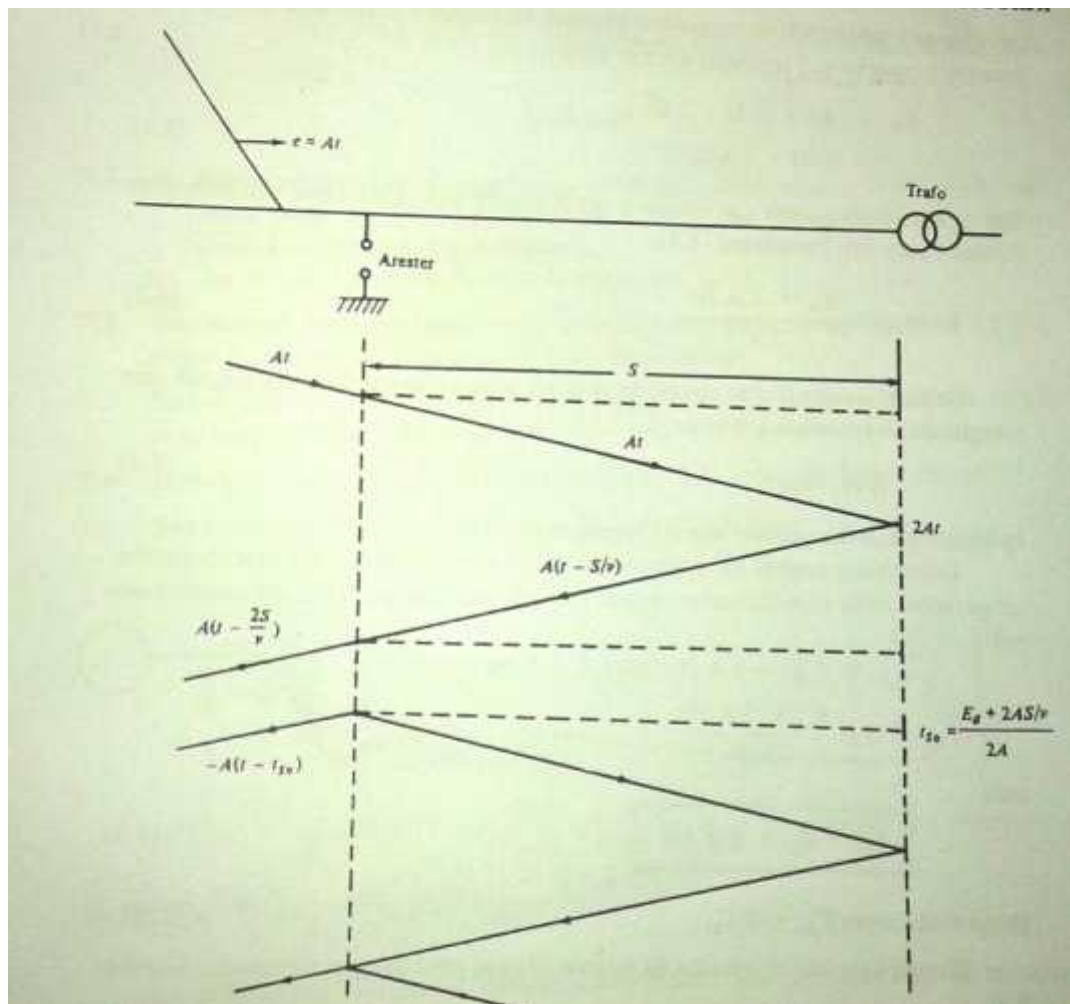
L = jarak antara trafo daya dan arrester (m)

U_t = tegangan gelombang berjalan yang datang pada trafo (kV)

U_A = tegangan kerja arrester (kV)

du/dt = kecuraman muka gelombang berjalan (kV/ μ s), dan berdasarkan rekomendasi standard IEC, umumnya dipakai 500 kV / μ s

V = kecepatan gelombang berjalan sepanjang saluran dengan kecepatan cahaya (300 m / μ s)^[11]



Gambar 2.20 Diagram tangga antara arrester dan transformator^[11]

¹¹TS. Hutahuruk, *Gelombang Berjalan dan Proteksi Surja*, Erlangga.1989, hal : 114



Untuk memperkecil gelombang surja yang yang memasuki gardu induk atau transformator, sering ipasang sepotong kabel atau kawat udara dan transformator. Transformator itu dianggap sebagai jepitan terbuka. Dengan cara coba-coba dapat ditentukan panjang maksimum dari kabel penghubung tersebut dalam contoh berikut ini dapat diperiksa apakah transformator masih terlindung dengan baik bila dipasang kabel penghubung antara kawat udara dan transformator. Sedangkan arrester ditempatkan pada titik sambungan kawat udara dan kabel.

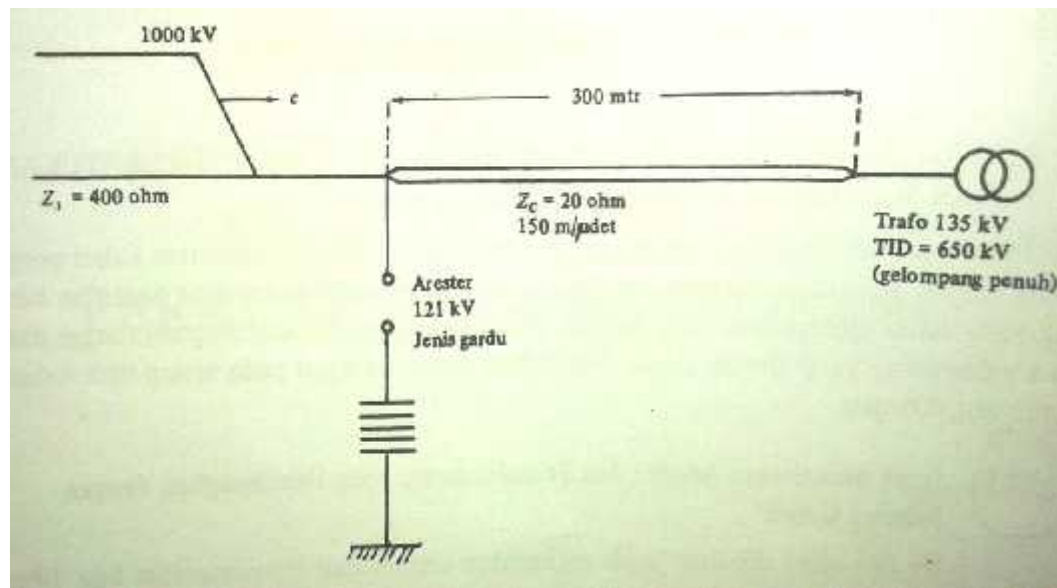
Contoh :

Arrester 121 kV dipasang pada titik sambungan kawat transmisi udara dengan kabel pada ssuatu gardu 138 kV. Kawat transmisi yang memasuki gardu cukup terlindung. Misalkan terjadi lompatan api (*flashover*) pada saluran dan suatu surja 1000 kV, muka 2 mikrodetik dan ekor yang datar (panjang tak berhingga) memasuki gardu, gambar 2.21.

- a. Tentukan tegangan pada transformator?
- b. Apakah arrester dapat melindungi transformator?

Dimisalkan tegangan percik arrester 390 kV dan tegangan setelah itu konstan (390 kV). Juga dimisalkan panjang kawat arrester sama dengan nol, gambar 2.21.

¹¹TS. Hutahuruk, *Gelombang Berjalan dan Proteksi Surja*, Erlangga.1989:113



Gambar 2.21 Kabel penghubung antara kawat transmisi udara dengan transformator untuk gambar 2.20^[11]

Penyelesaian dengan teori pantulan berulang

Jawab : konstruksi diagram tangga

$$a = \frac{20-400}{20+400} = -0,9047 \quad ; \quad a' = \frac{2 \times 20}{20+400} = 0,0953$$

$$b = \frac{400-20}{400+20} = 0,9047 \quad ; \quad b' = \frac{2 \times 400}{400+20} = 1,9047$$

pertama-tama yang harus ditentukan ialah waktu pada saat mana *arrester* mengalami percikan. Misalkan dulu *arrester* tidak ada, maka tegangan pada titik sambungan kabel kawat udara.

$$t = 0 \text{ } \mu\text{det} \quad ; \quad e = 0$$

$$t = 2 \text{ } \mu\text{det} \quad ; \quad e = 95,3 \text{ kV}$$

$$t = 4 \text{ } \mu\text{det} \quad ; \quad e = 95,3 \text{ kV}$$

$$t = 6 \text{ } \mu\text{det} \quad ; \quad e = 95,3 + 95,3 + 86,2 = 276,8 \text{ kV}$$

$$t = 8 \text{ } \mu\text{det} \quad ; \quad e = 276,8 \text{ kV}$$

$$t = 10 \text{ } \mu\text{det} \quad ; \quad e = 276,8 + 86,2 + 78 = 441,0 \text{ kV}$$

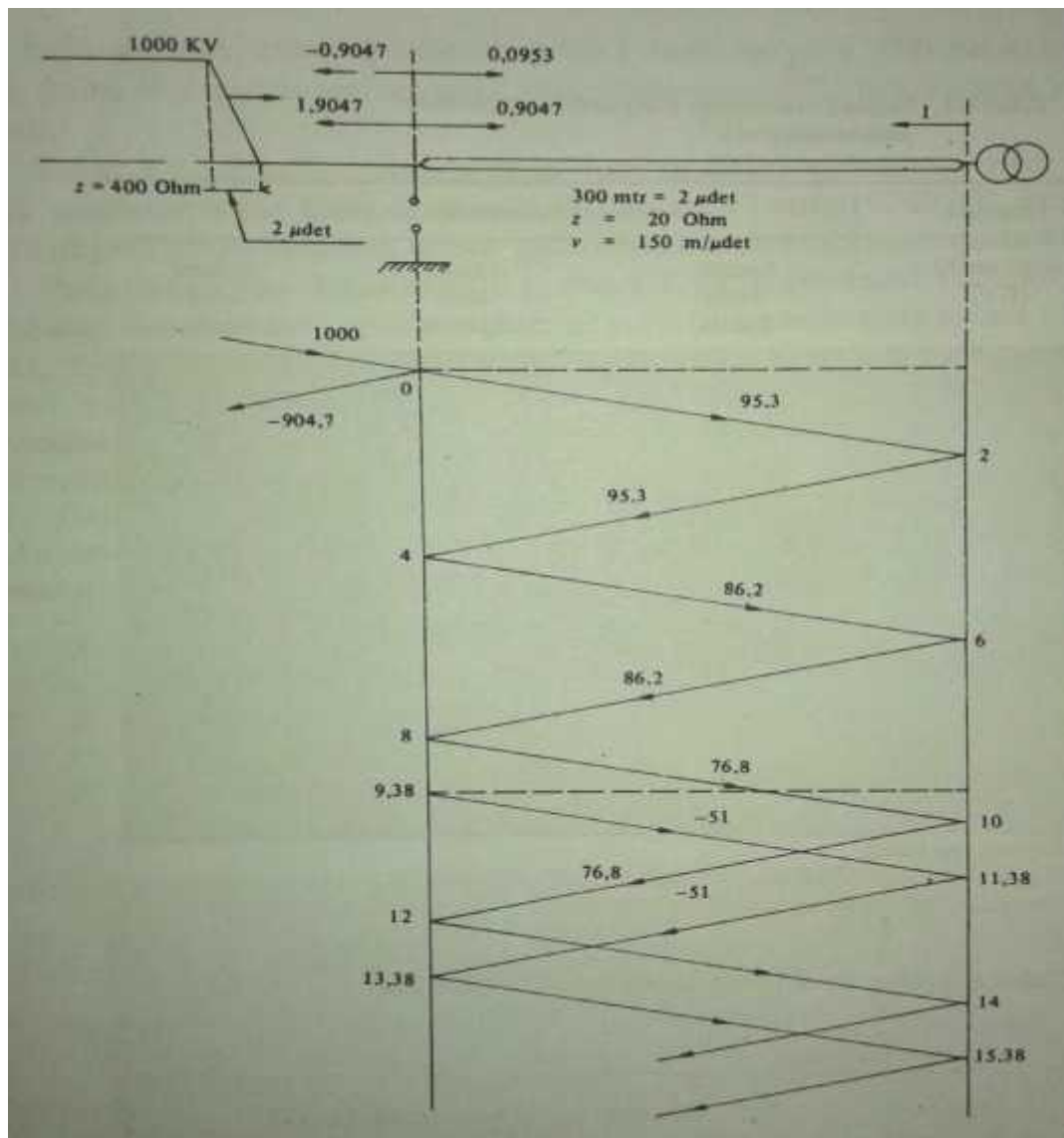
¹¹TS. Hutahuruk, *Gelombang Berjalan dan Proteksi Surja*, Erlangga.1989, hal :115

tetapi pada $e = 390 \text{ kV}$, arrester memercik (*spark over*)

Tegangang pada lokasi *arrester* dan waktu untuk mencapainya dapat diperoleh dari diagram tangga, gambar 2.22. naik tegangan pada lokasi *arrester* diberikan dalam gambar 2.22.

Waktu percik arrester (t_{so}) :

$$t_{so} = 8 + \Delta t$$



Gambar 2.22 Diagram tangga untuk contoh^[11]

¹¹TS. Hutahuruk, *Gelombang Berjalan dan Proteksi Surja*, Erlangga.1989, hal : 116